

محاسبه توزیع فشار بر روی پرتاب کننده جامی

نازنین خضری^۱، امیر رضا زراتی^{۲*}، فرهاد کلزاری^۳

- ۱- دانشجوی کارشناسی ارشد، دانشکده عمران و محیط زیست دانشگاه صنعتی امیرکبیر
۲- استاد دانشکده عمران و محیط زیست، دانشگاه صنعتی امیرکبیر
۳- عضو هیأت علمی مؤسسه تحقیقات آب وزارت نیرو

* تهران، خیابان حافظ، دانشگاه صنعتی امیرکبیر

Zarrati @aut.ac.ir

چکیده – از پرتاب کننده جامی برای دور کردن جریان پر سرعت از سرریز یا توnel تخلیه کننده و انتقال آن به حوضچه استغراق به منظور استهلاک انرژی استفاده می‌شود. طراحی جام‌های پرتابی معمولاً با توجه به مطالعات مدل‌های فیزیکی یا منحنی‌های طراحی مبتنی بر اندازه‌گیری‌های میدانی انجام می‌شود. انجام آزمایشها روی مدل فیزیکی، گران قیمت و تغییر دادن در اجزای مدل بسیار مشکل و پر هزینه بوده و تقریب منحنی‌های طراحی نیز زیاد است. هدف از این تحقیق، بررسی فشار پویا بر روی پرتاب کننده جامی با به کارگیری نوعی مدل عددی (Fluent) است. به این منظور، توزیع فشار بر روی جام پرتابی، مقدار و محل وقوع فشار حداکثر، اثر عدد فرود جریان ورودی بر جام پرتابی و نسبت عمق جریان به شعاع جام با توجه به نتایج حاصل از روش عددی و مقایسه با نتایج تئوری و آزمایشگاهی موجود بررسی شده است. مقایسه نتایج آزمایشگاهی توزیع فشار و سطح آزاد با نتایج حاصل از مدل عددی نشان می‌دهد که، خطای به دست آمده کمتر از ۱۰٪ بوده و این نشان‌دهنده توانایی مدل عددی در تحلیل و طراحی جام‌های پرتابی است.

کلید واژگان: جام پرتابی، روش عددی، فشار دینامیکی، سرریز، فلوئنت.

پرتاب کننده جامی (جام پرتابی)، یکی از اجزای سرریز است که جهت جریان سرریز را تغییر داده و آب را به صورت جت در هوا پرتاب می‌کند. هدف اصلی از تشکیل جت، دور ساختن جریان پر سرعت از بدنه سد و استهلاک انرژی در برخورد جت به حوضچه استغراق در پایین دست است که برای جریانهایی با سرعت بیش از ۱۵ تا ۲۰ متر بر ثانیه به کار می‌رود (Vischer et. al. 1995). این جام‌ها معمولاً ویژه هر پروژه بوده و به کمک نمودارهای تجربی طراحی می‌شوند و طراحی‌ها به کمک

مطالعه و بررسی سازه‌های هیدرولیکی در سدها همواره مورد توجه محققان علم هیدرولیک بوده و یکی از ارکان مهم ساخت سد، سرریز و مستهلك کننده‌های انرژی جریان است. مستهلك کننده‌های انرژی در انتهای سرریز سازه هیدرولیکی به منظور کاهش فرسایش در پایین دست سرریزها به کار می‌رond. یکی از معمولترین سازه‌های استهلاک انرژی، پرتاب کننده‌های جامی همراه با حوضچه‌های استغراق است.

در مقاله حاضر شبیه‌سازی عددی مدل پرتاب کننده جامی و محاسبه سطح آزاد و فشارهای پویا به عنوان راهکاری نوین در کنار روش‌های تحلیلی و مدل‌سازی فیزیکی بررسی شده است.

در پی استفاده موفق از نرم‌افزار فلوئنت در شبیه‌سازی پدیده‌های پیچیده در هیدرولیک و سازه‌های هیدرولیکی (Turan et al, 2008; Pirzadeh. and Shamloo, 2007; Park et al, 2004; Dargahi, 2006) در این کار تحقیقاتی از این نرم‌افزار برای حل میدان جریان در پرتاب کننده جامی استفاده شده است (Fluent Inc. 1993).

۲- معادلات حاکم و روش حل

رفتار جریان سیال تراکم‌ناپذیر آشفته توسط معادلات پیوستگی و ممتم توصیف می‌شود. این معادلات که در واقع بیانگر بقاع جرم و ممتم هستند به صورت ذیل نوشته می‌شوند (Schlichting,H. 1979):

معادله پیوستگی:

$$\frac{\partial \bar{u}_i}{\partial x_i} = 0 \quad (1)$$

معادله ممتم:

$$\begin{aligned} \frac{\partial \bar{u}_i}{\partial t} + \bar{u}_j \frac{\partial \bar{u}_i}{\partial x_j} = - \frac{1}{\rho} \frac{\partial \bar{p}}{\partial x_i} + g_i + \\ \frac{\partial}{\partial x_j} (\nu \frac{\partial \bar{u}_i}{\partial x_j} - \bar{u}_i' \bar{u}_j') \end{aligned} \quad (2)$$

این معادلات به معادلات رینولدز معروفند. در روابط فوق، i و j مقادیر ۱ و ۲ و ۳ را گرفته و نشان‌دهنده سه جهت مختصات x و y و z هستند. \bar{u}_i مولفه سرعت در جهت x_i ، \bar{p} لزجت ملکولی، ρ چگالی سیال، g_i مؤلفه شتاب ثقل در جهت i و ν فشار در هر نقطه از سیال است. $\bar{u}_i' \bar{u}_j'$ همان تنشهای رینولدز است که بر سیال

مدل‌سازی فیزیکی نهایی می‌شود. در تحلیل جریان عبوری از روی پرتاب کننده جامی، محاسبه سطح آب در طول جام و پیش‌بینی فشارهای وارد شده بر آن مهمنترین مسائلی است که باید توسط طراح انجام شود. سطح آب روی پرتاب کننده جامی، در تعیین ارتفاع دیوارهای دو طرف نقش دارد و با مشخص بودن توزیع فشار، طراحی سازه‌ای دیوارهای پرتاب کننده جامی ممکن می‌شود. پرتاب کننده جامی نخستین بار در طراحی هیدرولیکی سد Dordogne فرانسه در سال ۱۹۳۰ معرفی شد و سپس (Rhone et al. 1959, Peterka 1983)

نیروهای هیدرولیکی روی جام پرتابی، در طراحی سازه جام اهمیت دارند. مطالعات تحلیلی و مدل‌سازی نشان می‌دهند که فشار کف به طور پیوسته در طول جام پرتابی تغییر کرده و تابعی از سرعت ورود و عمق جریان، شعاع انحنا و زاویه مرکزی جام پرتابی است. برای مقاصد طراحی، علاوه بر فشار حداقل، تغییرات فشار و سطح آب در طول جام پرتابی نیز باید تعیین شود.

پیشینه تحقیقاتی برای محاسبه فشار هیدرودینامیک پرتاب کننده جامی به بیش از پنجاه سال پیش باز می‌گردد. و روش‌های تحلیلی و ساخت مدل‌های فیزیکی در این زمینه مورد استفاده قرار گرفته‌اند و از آن میان می‌توان روش حل تحلیلی با در نظر گرفتن جریان در طول جام پرتابی به صورت گرداب آزاد توسط Chow (1959) Indian Standard (1982), Balloffet (1961) و حل تحلیلی معادله لاپلاس توسط Chen and Yu (1965) Shuguang and Lenau & Cassidy (1969) و Zhengxiang (1988) و تحلیل جریان به کمک مدل‌های Corps of Engineers (1990) Juon and Peterka (1983) Heller et. al. (2005) و Hager (2000) را نام برد.

(Youngs D. L., 1982). در این روش شب سطح بین آب و هوا در هر سلول جریان به صورت خطی فرض می‌شود. روش انفصال استفاده شده در نرم افزار فلوئنت برای معادلات، روش حجم محدود^۲ است. در این روش معادلات به صورت جدا جدا حل شده و روش ضمنی با مرتبه اول برای مدل‌سازی جریان غیرماندگار به کار رفته است (Patankar S.V., 1980). برای ارتباط دادن مقادیر سلول‌های مجاور دیوار به شرایط بدون لغزش بر روی دیوار و در نظر گرفتن زبری آن از تابع استاندارد دیواره استفاده شده است. این تابع در محدوده وسیعی از جریانها کاربرد دارد. شرایط مرزی ورودی و خروجی، با توجه به شرایط مسئله اعمال شده است. در این تحقیق با توجه به فوق بحرانی بودن جریان، سرعت و عمق جریان در ورودی مشخص شده و به برنامه داده می‌شود (شکل ۱).

در شروع محاسبات، فاز هوا به عنوان فاز اصلی (فاز اول) در نظر گرفته شده که کل میدان را شامل می‌شود. سپس فاز آب در سلول‌های ستون اول ورودی کanal، با عمق مشخص تعریف می‌شود. مقادیر عمق و سرعت ورودی آب و هوا و مقادیر اولیه آشفتگی محاسبه شده با استفاده از روابط تجربی، بعنوان شرایط اولیه به مرز ورودی اعمال می‌شوند.

سرعت ورودی هوا را می‌توان صفر در نظر گرفت.

در مرز خروجی گرادیان تمامی متغیرها صفر در نظر گرفته شده و از شرط مرزی تقارن برای مرز فوکانی میدان که فقط با فاز هوا تماس دارد- استفاده شده است.

در این تحقیق به منظور برقراری ارتباط بین میدان سرعت و فشار از روش PISO استفاده شده و در حل انفصال جمله جابجایی معادلات روش کوئیک به کار رفته است (Versteeg et al. 1995).

عمل کرده و اثر گردابه‌های آشفتگی را در سیال اعمال می‌کند. در اکثر جریان‌های آشفته، تنش رینولدز بسیار بیشتر از تنش ناشی از لزجت ملکولی $v \frac{\partial \bar{u}_i}{\partial x_j}$ است. در این تحقیق با توجه به عدم وجود مناطق چرخشی و جدایی در جریان و عملکرد بسیار خوب مدل ۴- استاندارد در حل مسائل مختلف مهندسی هیدرولیک، از این مدل استفاده شده است (Rodi W., 1980).

تعیین تراز سطح آب در بسیاری از مسائل کanal‌های باز مطرح بوده و یکی از مضلاالت تحلیل این گونه جریانها است. یکی از روش‌های پیشرفته و دقیق در تعیین تراز سطح آب روش VOF^۱ است. در این روش از تابع متغیری به نام F استفاده می‌شود که برابر است با نسبت حجم آب در سلول محاسباتی به حجم سلول محاسباتی. اگر F برابر ۱ باشد، نشان‌دهنده پر بودن سلول از آب است و اگر $0 < F < 1$ برابر صفر باشد، سلول پر از هوا است. برای درصدی از سلول حاوی آب است. به این ترتیب می‌توان از F برای یافتن سطح آب استفاده کرد. در تحقیق حاضر سطح آب در محلی تعریف شده که ۹۰ درصد آن را هوا و ۱۰ درصد آن را آب تشکیل داده باشد یا به بیان دیگر $F=0.1$ باشد (Wood I.R., 1991). با توجه به رابطه پیوستگی آب می‌توان رابطه زیر را برای F به دست آورد:

$$\frac{dF}{dt} = 0 \Rightarrow \frac{\partial F}{\partial t} + u \frac{\partial F}{\partial x} + v \frac{\partial F}{\partial y} = 0 \quad (3)$$

روشهای متعددی برای حل این معادله وجود دارد. در تحقیق حاضر، روش بازسازی حجمی استفاده شده است. این روش از نوع غیرماندگار بوده و برای انفصال معادله از روش اختلاف بالا دست مرتبه اول استفاده می‌کند و در شبکه‌های منظم دارای دقت و رفتار مناسبی است

2. Finite Volume Method

1. Volume of Fluid



شکل ۱ شرایط مرزی و اولیه حاکم بر میدان جریان

صفر که به پرتاب کننده جامی با شعاع ۴۰ سانتی متر و زاویه چرخش ۳۰ درجه متنه می شود. آزمایشها در کanal مستطیلی به عرض ۴۹۹mm ، طول ۷ متر و عمق ۷۰۰mm از جنس پلکسی گلاس با ضریب مانینگ ۰/۰۰۹ انجام شده است. ایجاد تغییرات سرعت و عمق جریان در محدوده وسیعی از مقادیر عدد فرود امکان پذیر بوده است. شکل کلی میدان مطابق شکل ۲ است.

به منظور تحلیل جریان بر روی پرتاب کننده جامی، ابتدا هندسه جریان مطابق این آزمایشها توسط نرم افزار کمکی گمبیت ایجاد و برای حل مسئله از شبکه منطبق بر مرز استفاده شد. شبکه محاسباتی در حالت کلی دارای ابعاد متوسط $\Delta x=0.02m$ و $\Delta y=0.005m$ بوده است. در شکل ۳ شبکه بنده میدان نشان داده شده است.

تحلیل جریان برای پرتاب کننده جامی برای R/d و مقادیر مختلف عدد فرود انجام شده است. در اینجا نتایج آزمایشگاهی برای جریان با عمق ۴ cm ($R/d=10$) و اعداد فرود ۳ و ۵ در مقایسه ها به کار گرفته شده است.

با توجه به اینکه مسیر مستقیم قبل از جام پرتابی، طول کافی را برای توسعه یافتن پروفیل سرعت دارد، بنابراین به اعمال سرعت توسعه یافته در ورودی میدان نیاز نیست و لذا پروفیل سرعت به صورت یکنواخت به مرز ورودی بالادست اعمال شد.

به منظور تحلیل جریان، حل به صورت آشفته و غیر ماندگار انجام و پس از آنکه میدان جریان به حالت

-۳ تحلیل جریان عبوری از روی پرتاب کننده جامی

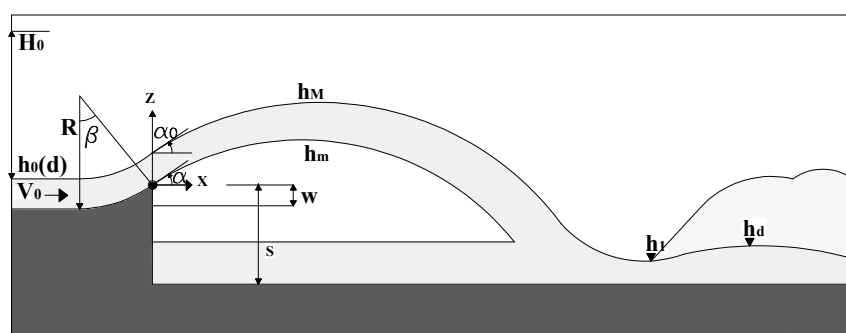
محاسبه تراز سطح آب و نحوه توزیع فشار بر روی پرتاب کننده جامی و اثر پارامترهای مختلف از جمله R/d (شعاع جام و d عمق جریان ورودی جام)، یکی از مهمترین مسائل مدنظر در طراحی پرتاب کننده جامی است. خوشبختانه داده های آزمایشگاهی کاملی برای پرتاب کننده جامی در مراجع ارائه شده است (Joun et al. 2005) (Corps of Engineering 1990) وجود دارد که حاصل اندازه گیری در شرایط محدود در نمونه اصلی هستند. برای نشان دادن کارایی روش عددی، پروفیل سطح آب و فشار دینامیکی بر روی پرتاب کننده جامی با این نتایج آزمایشگاهی و روابط پیشنهادی توسط محققین فوق مقایسه و پس از اطمینان از عملکرد مدل عددی، اثر پارامترهای مختلف بر توزیع فشار بررسی شده است.

-۱-۳ شبیه سازی عددی الگوی جریان در پرتاب کننده جامی

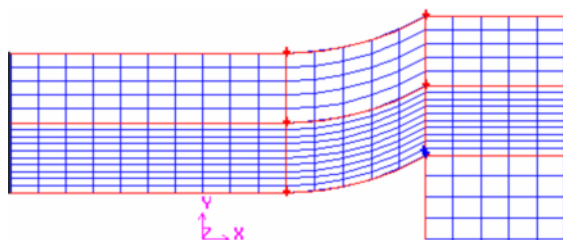
در این بخش از پژوهش، شبیه سازی عددی الگوی جریان و محاسبه توزیع فشار بر اساس کار آزمایشگاهی (Joun et al. 2000 , Heller et al. 2005) انجام شده است. میدان مورد نظر عبارت است از فلوم افقی با شبیه

همانگونه که در این شکل مشاهده می‌شود سطح آب روی جام پرتابی از پیوستگی خوبی برخوردار بوده و نتایج، تطبیق خوبی با نتایج آزمایشگاهی دارد. خطای اندازه‌گیری در برخی نقاط با انحنای شدید در سطح آب، به $0/5$ سانتیمتر می‌رسد، که در حد اندازه‌گیریهای آزمایشگاهی قابل قبول است. همچنین خطای برای عدد فرود برابر 3 ، نسبت به عدد فرود 5 بیشتر است.

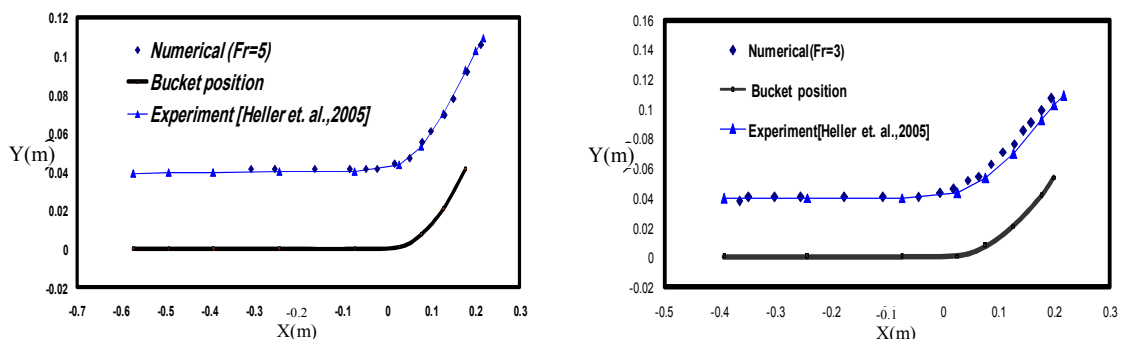
ماندگار رسید، میدان فشار و پروفیل سطح آب بر روی جام پرتابی تعیین شد. در این حل عددی، پس از تحلیل حساسیت ابعاد شبکه محاسباتی تعداد 10000 سلول محاسباتی استفاده شد و مدت زمان اجرا با کامپیوتر پنتیوم IV، بین $1/5$ تا 3 ساعت بوده است. پروفیل سطح آب بر روی جام پرتابی -که حاصل از حل میدان جریان آب و هوای است- در شکل ۴ مشاهده می‌شود.



شکل ۲ شماتیکی جریان عبوری از یک پرتاب کننده جامی (Heller et. al. 2005)



شکل ۳ هندسه جام پرتابی و شبکه استفاده شده



شکل ۴ مقایسه نتایج سطح آزاد جریان برای $R/d=10$ و فرود 3 و 5 با نتایج آزمایشگاهی (Heller et. al.(2005)

قدرت مدل عددی را به خوبی نشان می‌دهد؛ بهویژه اینکه جت پرتاپی دارای دو سطح آزاد در دو طرف جت است.

۱-۱-۳- محاسبه و تحلیل فشار بر روی جام پرتاپی

توزیع فشار پیزومتری در کف جام پرتاپی (h_p)، پارامتر مهمی در طراحی محسوب می‌شود که شامل مجموع بلندای (هد) فشار استاتیک (h_0) و دینامیک در کف جام است.

در شکل ۶ برای نسبت $R/d=10$ و اعداد فرود ۳ و ۵ تغییرات بدون بعد بلندی فشار H_p بر حسب فاصله بی بعد X_p مطابق تعریف زیر ترسیم و با نتایج آزمایشگاهی Heller et al. (2005) مقایسه شده است.

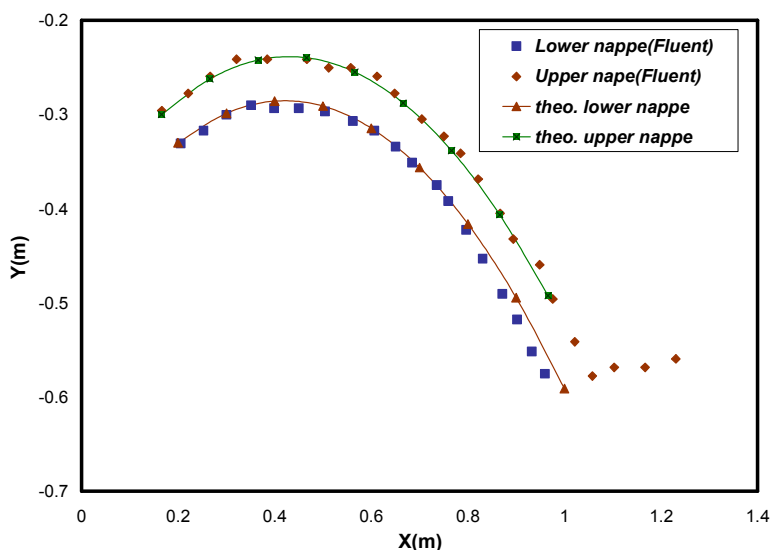
$$X_p = \frac{X}{R \sin \beta} \quad H_p = \frac{h_p - h_0}{h_{pM} - h_0} \quad (4)$$

h_{pM} حداقل بلندی در طول جام پرتاپی است؛ نقطه $X=0$ محل ورود جریان به جام پرتاپی، X فاصله از ابتدای جام و β زاویه چرخش جام است. مقایسه نتایج، صحت روش عددی را در محاسبه فشارهای دینامیکی در طول جام نشان می‌دهد.

با توجه به فشارهای دینامیکی شدید و انحنای زیاد سطح آب در روی جام پرتاپی، محاسبه صحیح سطح آب، کارایی مدل عددی به کار رفته در محاسبات را نشان می‌دهد.

پروفیل مسیر حرکت جریان پرتاپی در خروج از جام پرتاپی، برای جریانی به عمق ۴ سانتی‌متر و عدد فرود ۳- محاسبه شده توسط مدل عددی - به صورت شکل ۵ است. نتایج معادله تئوری پرتاپی نیز در این شکل ارائه و با نتایج مدل عددی مقایسه شده که دقیق مناسی را نشان می‌دهد. زاویه خروج جریان از پروفیل کف جام پرتاپی با زاویه انتهای جام - متفاوت و از آن کمتر است.

برای اندازه‌گیری زاویه خروج جریان با استفاده از پروفیل سطح آب محاسبه شده در مدل عددی، خط مماس بر خط جریان خروجی از جام پرتاپی ترسیم و زاویه آن محاسبه شده است. این زاویه با روابط تجربی ارائه شده توسط Heller et al. (2005) برای زاویه پرتاپی مقایسه و مشخص شد که نتایج محاسبات مدل عددی و روابط فوق نتایج تقریباً یکسانی را نشان می‌دهند. با توجه به پیچیدگی محاسبه سطح آزاد، حل این مثال کارائی و



شکل ۵ پروفیل حرکت جریان پرتاپی از پرتاپ کننده جامی ($R/d=10$, $Fr=3$)

حداکثر آن در طول جامهای پرتابی ارائه کردند (توجه شود که در این روابط x فاصله از انتهای جام است):

$$\frac{h_d}{h_{dM}} = \left[\frac{x}{x_{PM}} \exp\left(1 - \frac{x}{x_{PM}}\right) \right]^{1/5} \quad (5)$$

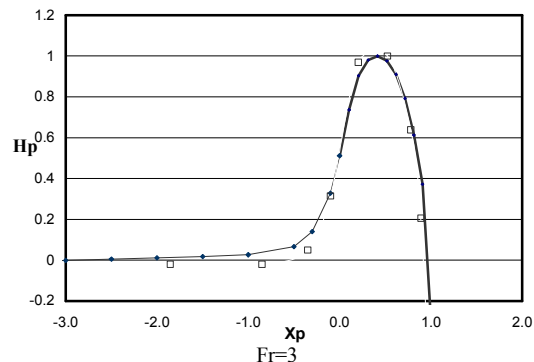
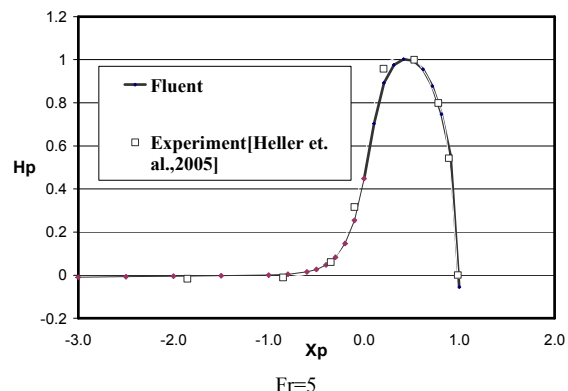
$$\frac{x_{PM}}{(RSin\beta)} = -(1.5^\circ / \beta)^{1/5} \quad (6)$$

در این معادلات X_{PM} فاصله محل حداکثر فشار روی جام پرتابی (h_{PM}) از انتهای جام و h_{dM} بیشینه فشار دینامیک است. در این قسمت با استفاده از مدل عددی و محاسبات انجام شده برای $Fr=5$ و $R/d=3$. توزیع فشار در طول جام به صورت بی بعد با روابط (5) و (6) در شکل ۷ مقایسه شده است. همانگونه که مشاهده می شود نتایج به دست آمده از روش عددی تطابق بسیار خوبی با روابط تجربی که حاصل ۹۰ دسته آزمایش است دارد.

همچنین محل حداکثر فشار به دست آمده از مدل عددی با روابط تجربی ارائه شده توسط محققان فوق (رابطه ۶)، (رابطه ۷) و (شکل ۸). تطابق کامل دارد.

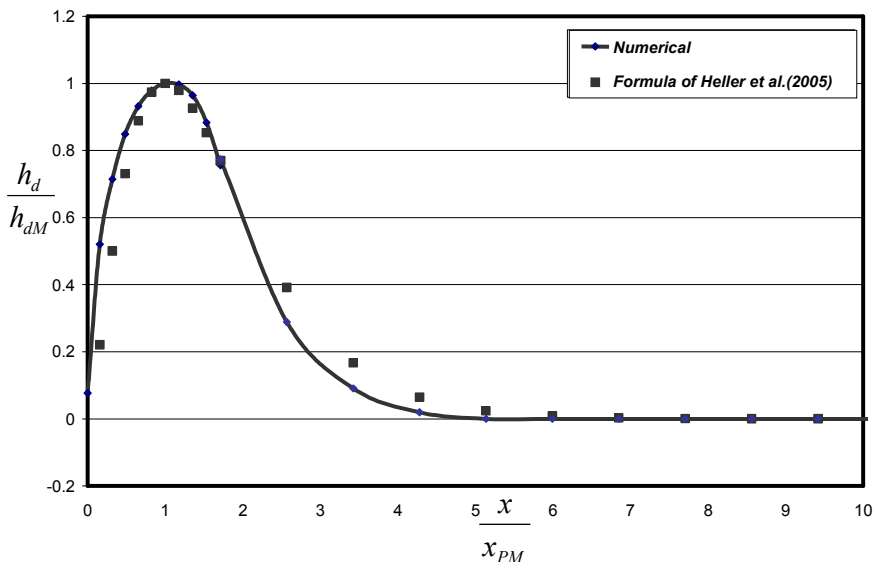
۲-۳- شبیه‌سازی عددی الگوی جریان در پرتاب کننده جامی سد Hartwell

پس از مقایسه نتایج مدل عددی با نتایج آزمایشگاهی، در این قسمت نتایج مدل عددی با نتایج اندازه گیری شده توزیع فشار و سطح آزاد جریان در سد Hartwell مقایسه شده است. این نتایج در راهنمایی طراحی ارائه شده توسط COE¹ (Corps of Engineering, 1990) موجود است.

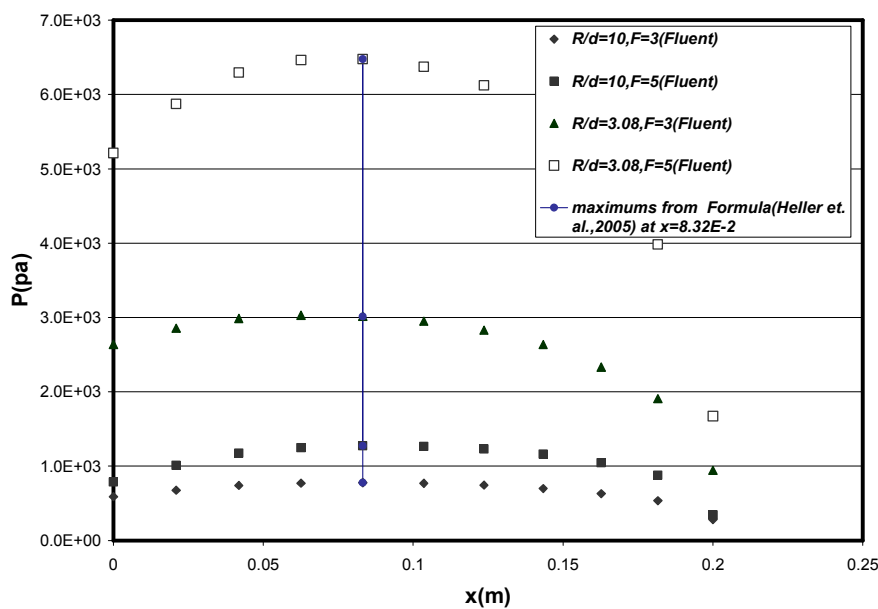


شکل ۶ تغییرات بلندی فشار روی پرتاب کننده جامی برای $R/d=10$ و اعداد فرود ۳ و ۵ و مقایسه با نتایج آزمایشگاهی Heller et. al. (2005)

تطابق نتایج آزمایشگاهی و همچنین عددی - همان‌طور که در شکل ۶ مشاهده می شود- در $Xp=0$ (ابتدا جام) مقدار Hp تقریباً برابر $0/5$ است؛ یعنی در ابتدا جام پرتابی فشار دینامیکی وجود دارد. البته این اثر در $-3 < Xp < 0$ و یا به بیان دیگر در فاصله $3*RSin\beta$ از شروع جام قابل صرف‌نظر کردن است و فشارهای موجود به فشارهای هیدرواستاتیک می‌رسد. همچنین در $-0/5 < Xp < 0/5$ - یعنی در طولی به اندازه $0.5RSin\beta$ در بالا دست جام - فشار دینامیک به کمتر از 20 درصد فشار استاتیک کاهش می‌یابد. Heller et al. (2005) با استفاده از ۹۰ دسته داده‌های آزمایشگاهی، روابط زیر را برای توزیع فشار و محل



شکل ۷ مقایسه نتایج مدل عددی برای توزیع فشار دینامیک و رابطه تجربی (۵) برای $Fr=5$ و $R/d=3$



شکل ۸ مقایسه محل بیشینه فشار حاصل از رابطه (۶) (Heller et. al. 2005) و فلوئنت با R/d و مقادیر مختلف عدد فرود

مطابق شکل ۹ است برای شبکه‌بندی در نزدیکی دیوارها از شبکه‌ای با ابعاد متوسط ($\Delta y=0.1$ m, $\Delta x=0.1$ m) و در نقاط دورتر با ابعاد متوسط ($\Delta y=0.1$ m $\Delta x=0.2$ m) استفاده شده است. گام زمانی به کار رفته برای همگرا

میدان مورد نظر عبارت است از تنداشی با شیب ۵۵ درجه که به پرتاب کننده جامی با شعاع ۳۰ فوت (۹۹۴۴ متر) و زاویه چرخش ۹۵ درجه (زاویه انتهای پرتاب کننده جامی با افق ۴۰ درجه) متناسب می‌شود. شکل کلی میدان

نتایج حاصل از مدل عددی برای $d/R=0.18$ اختلافی تا ۲۰ درصد را نسبت به منحنی طراحی نشان می‌دهد. لازم است ذکر شود که در منحنی طراحی، اثر عدد فرود وجود ندارد؛ در صورتی که مدل عددی که با آزمایش‌های Heller et. al. (2005) نیز تطابق دارد نشان می‌دهد که نتایج، به تغییر عدد فرود ورودی حساس است. همچنین برای ترسیم منحنی طراحی خطوط برای مقادیر مختلف d/R از میان نقاط اندازه‌گیری عبور داده شده یا به بیان دیگر، پراکندگی نتایج اندازه‌گیری در اطراف منحنی‌ها دیده می‌شود که این به معنای خطا در این منحنی‌ها است. با توجه به این نتایج می‌توان گفت که مدل عددی توانسته تا حد مناسبی توزیع فشار را تعیین کند.

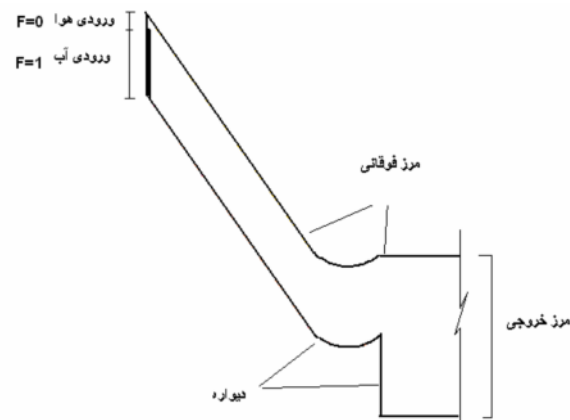
۳-۳- تأثیر عدد فرود بر توزیع فشار بر روی جام پرتابی برای مقادیر مختلف d/R

پس از اطمینان یافتن از دقیقیت مدل عددی، در این قسمت توزیع فشار برای مقادیر d/R ثابت و مقادیر عدد فرود با استفاده از نتایج حاصل از فلوئنت برای هندسه مدل Juon & Hager(2000) به شیوه ارائه شده توسط COE (Corps of Engineering, 1990) ترسیم شده است (شکل ۱۱). با توجه به این محاسبات، دیده می‌شود که عدد فرود بر نحوه توزیع فشار در روی جام تأثیر می‌گذارد و نتایج مدل عددی نشان می‌دهد که این تأثیر برای d/R های بزرگتر، بیشتر است.

همچنین از شکل می‌توان نتیجه گرفت که برای $d/R>0.1$ منحنی‌های طراحی، نتایج بالاتری را نسبت به نتایج مدل عددی برای مقادیر مختلف عدد فرود به دست می‌دهند. این اختلاف با افزایش عدد فرود، افزایش یافته و بین ۳۰ تا ۵۰ درصد تغییر می‌کند. برای $d/R=0.1$ و $Fr=5$ ، اختلاف مدل عددی با منحنی COE کمتر می‌شود (شکل ۱۱).

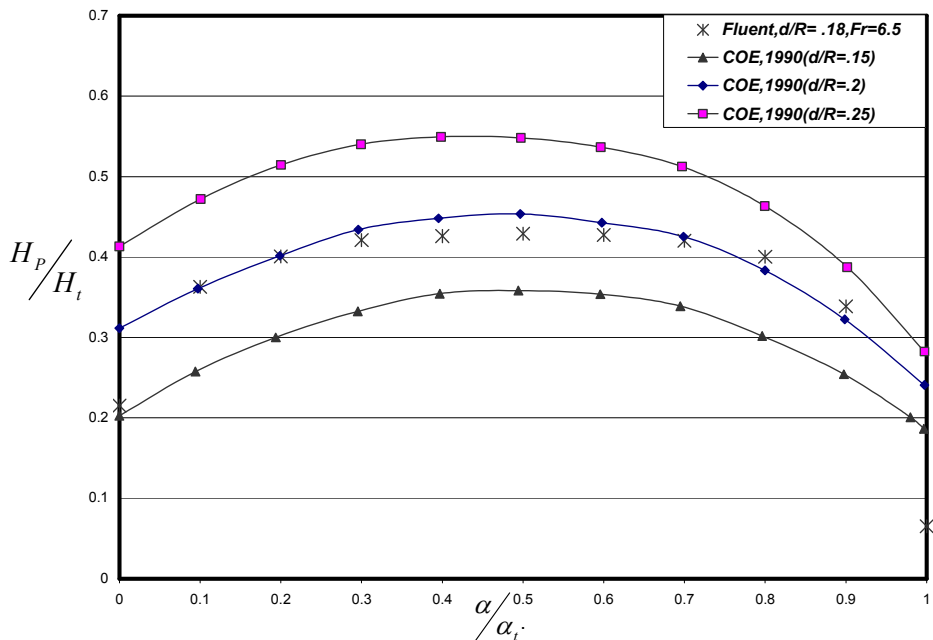
شدن، بین ۰/۰۰۲ تا ۰/۰۱ ثانیه متغیر و با توجه به ابعاد نمونه، زمان لازم برای هر بار اجرای برنامه، بین ۱۵ تا ۲۰ ساعت است. شرط اولیه حل میدان جریان در ابتدا به صورت یک ستون آب در ورودی کانال به ارتفاع ۸ متر در نظر گرفته شده و مقدار جزء حجم سیال آب در این ناحیه برابر واحد و در سایر نقاط شبکه برابر صفر است. در شکل ۹ شرایط مرزی و شرط اولیه میدان جریان نشان داده شده است.

در مرز ورودی کانال، با توجه به دبی جریان از شرط مرزی سرعت معین و یکنواخت $10/5 \text{ m/s}$ برای آب به موازات شیب استفاده شده است.

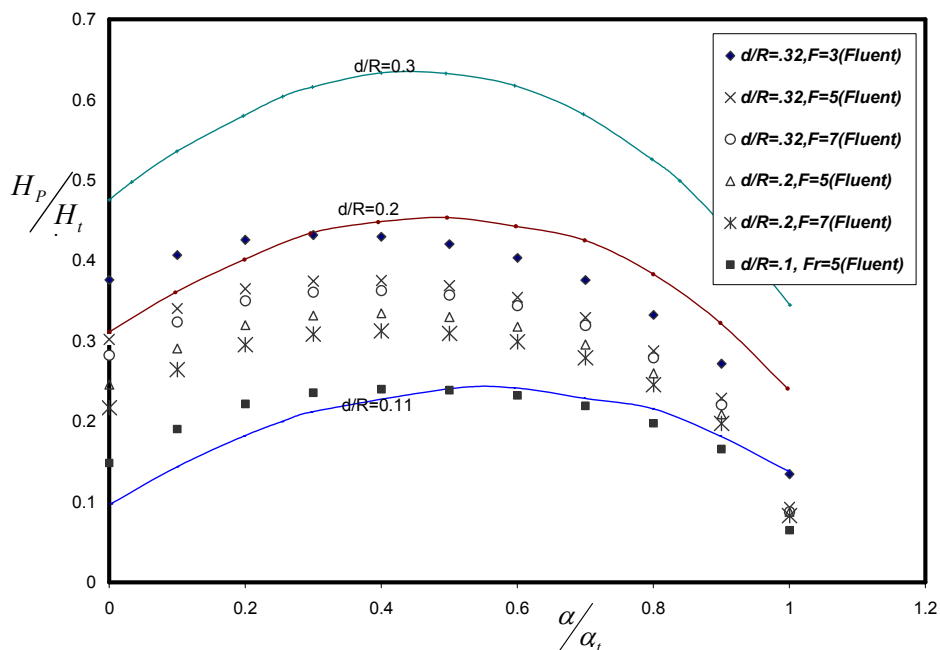


شکل ۹ شرایط مرزی و اولیه حاکم بر میدان جریان

در شکل ۱۰ بلندای فشار پیزومتری بر روی جام پرتابی که مطابق منحنی طراحی COE نسبت به بلندای فشار کل $(H_t = d + \frac{V^2}{2g} + Z)$ در ابتدای جام بی بعد شده، بر حسب زاویه چرخش بی بعد شده (نسبت زاویه چرخش از ابتدای جام، به کل زاویه چرخش جام $\frac{\alpha}{\alpha_t}$) برای $d/R=0.18$ و $Fr=6.5$ (در محل ورود جریان به جام) از ابتدای جام پرتابی رسم و با دو نمودار از منحنی طراحی مقایسه شده است.



شکل ۱۰ توزیع فشار روی جام پرتابی و مقایسه با منحنی طراحی (Corps of Engineering, 1990) COE



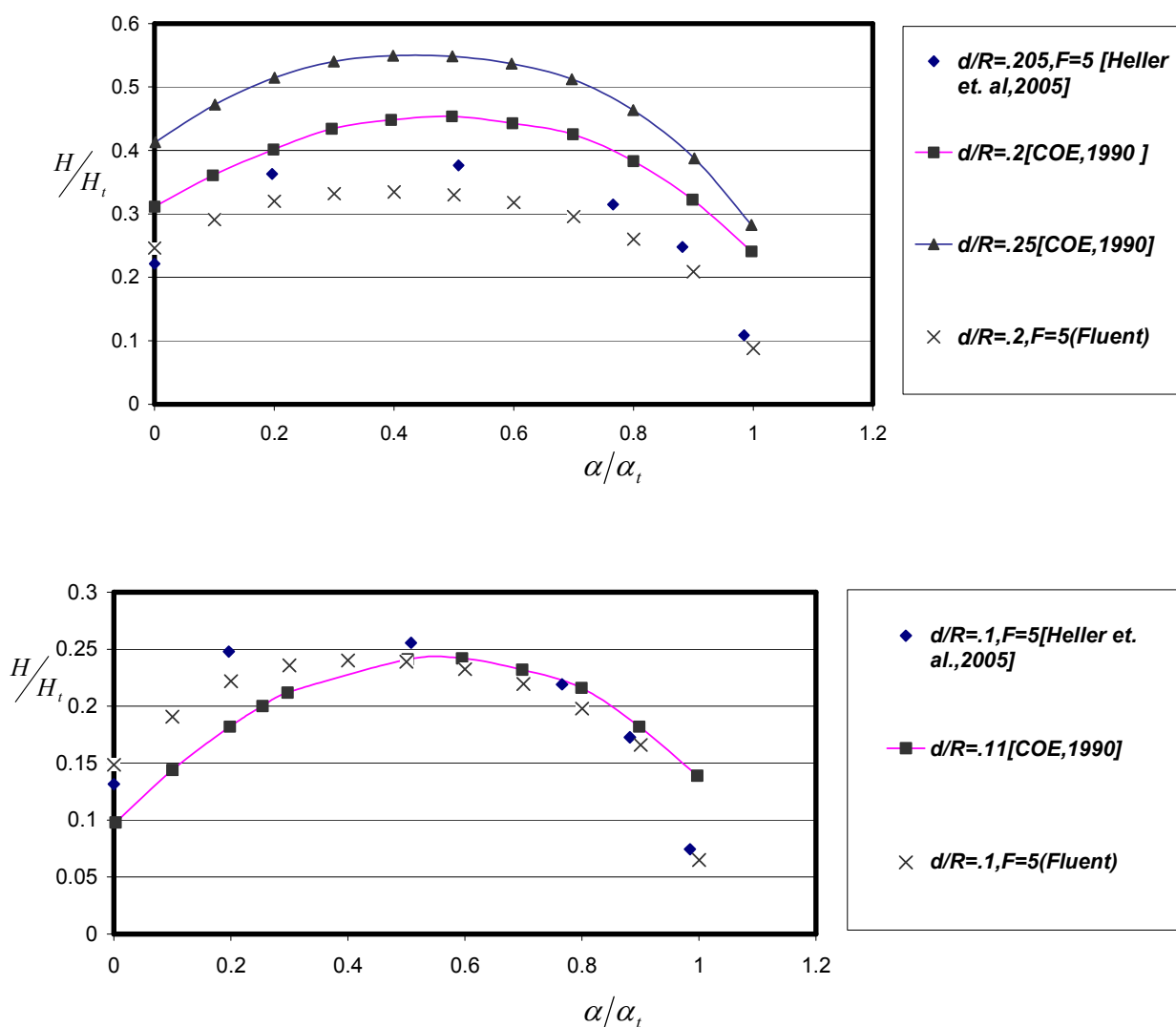
شکل ۱۱ مقایسه تغییرات توزیع فشار با تغییر عدد فرود، با توجه به منحنی طراحی COE (خطوط پر)

بیشتر از اختلاف نتایج محاسبات با هندسه جام پرتابی سد Hartwell است. برای بررسی این موضوع در شکل ۱۲ نتایج معادله تجربی Heller et al. (2005) به ترتیب

همانگونه که از مقایسه شکل‌های ۱۰ و ۱۱ مشخص است، اختلاف نتایج محاسبات با هندسه جام پرتابی آزمایشگاهی – COE (2005) در مقایسه با منحنی

می‌رسد. نتایج حاصل از فلوئنت نیز در شکل ۱۲ آورده شده که نسبت به منحنی‌های طراحی، تطابق خوبی را با معادلات تجربی (Heller et al. 2005) نشان می‌دهد. با کاهش d/R (جام با خم کمتر) تطابق منحنی‌های طراحی COE با معادله تجربی (Heller et al. 2005) و نتایج فلوئنت بیشتر می‌شود.

برای $Fr=5$ و $d/R=0.1$ و $d/R=0.205$ ، با نمودارهای حاصل از منحنی طراحی COE مقایسه شده است. همان‌طور که مشاهده می‌شود، معادله تجربی آزمایشگاهی استوار است- نیز بر منحنی‌های COE منطبق نبوده و خطای حاصل در بعضی نقاط به ۲۵ درصد



شکل ۱۲ مقایسه تغییرات توزیع فشار حاصل از معادله (۱۴) با تغییر عدد فرود، با منحنی طراحی (COE (Corps of Engineering, 1990, 1990) با منحنی طراحی (Heller et al., 2005)

افزایش عدد فرود، خطای روابط افزایش یافته است. به این ترتیب افزایش خطای با افزایش عدد فرود، ناشی از اثر ثقل و لزجت نیست و می‌توان نتیجه گرفت که الگوی جریان و تغییر مسیر خطوط جریان، اثر مهمتری بر نتایج دارد. در روش‌های تحلیلی ذکر شده، خطوط جریان به صورت موازی فرض شده است. روشن است که هرچه سرعت جریان بیشتر باشد، تطبیق خطوط جریان با تغییر مسیر مرزها کمتر خواهد بود. به بیان دیگر در سرعت‌های بالاتر، خطوط جریان با بستر یعنی جام پرتاپی تطابق R/d نداشته و با آن موازی نیستند. روشن است که هرچه کوچکتر (تغییر سریعتر بستر) و عدد فرود بیشتر باشد، تطابق خطوط جریان با بستر کمتر و لذا خطای روش‌های تحلیلی بیشتر خواهد بود.

۴- نتیجه‌گیری

نتایج کلی حاصل از این پژوهش را می‌توان به شرح زیر خلاصه کرد:

۱- نتایج به دست آمده از پروفیل سطح آزاد و توزیع فشار در پرتاپ کننده جامی توسط مدل عددی در مقایسه با نتایج آزمایشگاهی ((Heller et al. (2000) Juon et al. (2005) و (Azamian et al. (2000)) مقدار دقیقی را نشان می‌دهند.

۴-۳- بررسی دقیق نتایج روابط تحلیلی برای حداکثر فشار بر روی جام پرتاپی

با فرض جریان به صورت گرداب آزاد روی جام پرتاپی می‌توان حداکثر فشار را با استفاده از رابطه زیر محاسبه کرد (Chow, V.T., 1959)

$$P = \left(\frac{V_a^2}{Rg} + 1 \right) \gamma \cdot d \quad (7)$$

رابطه فوق در استاندارد هند (Indian Standard, 1982) برای $R > 4d$ دارای دقیق مناسب تشخیص داده شده است. خطای این رابطه نسبت به نتایج حاصل از مدل عددی در جدول ۱ آورده شده است. همان‌گونه که ملاحظه می‌شود خطای مزبور با افزایش R/d ، کاهش می‌یابد. برای $R/d = 3$ این اختلاف به حدود ۸۰ درصد و برای $R/d = 5$ به ۳۵ درصد می‌رسد. برای $R/d = 10$ ، روابط تقریبی نتایج نسبتاً خوبی را ارائه کرده‌اند. برای همین $R/d = 4$ -درصد $Fr = 5$ کمتر از ۸ درصد و برای $Fr = 3$ حدود ۴-درصد است. در R/d یکسان، با افزایش عدد فرود، خطای نیز افزایش یافته است. لذا می‌توان گفت که استفاده از روابط تقریبی فقط برای R/d بزرگ‌تر از ۸ تا ۱۰ و عدد فرود کمتر از ۵ قابل قبول است.

از آنجا که در این روابط اثر جاذبه و لزجت در نظر گرفته نشده، باید با کاهش اثر جاذبه (افزایش عدد فرود) مقدار خطای کاهش یابد؛ اما همان‌گونه که ملاحظه می‌شود، با

جدول ۱ مقایسه نتایج فشار حداکثر حاصل از فلوئنت با رابطه تحلیلی

R/d	Fr	فشار (Pa)		درصد خطای رابطه ۱۱ با توجه به مدل عددی
		مدل عددی	رابطه ۸	
۳/۰۸	۳	۳۰۱۴/۲	۵۰۰۵/۸۳	۶۶/۱
۳/۰۸	۵	۶۴۷۹/۲	۱۱۶۳۵/۴	۷۹/۶
۵	۵	۳۵۴۰	۴۷۰۹/۷۸	۲۳
۵	۷	۶۲۶۰	۸۴۷۲/۸	۳۵
۱۰	۳	۷۷۷/۷۹	۷۴۵/۸۴	-۴
۱۰	۵	۱۲۷۲/۵	۱۳۷۲/۰۹	۷/۸

۵- فهرست علائم

P	فشار
γ	وزن مخصوص آب
ρ	چگالی سیال
g_i	مؤلفه شتاب ثقل در جهت i
V	سرعت جریان ورودی به جام پرتابی
V_a	سرعت واقعی جریان ورودی
u_i	مؤلفه سرعت لحظه‌ای در جهت xi
R	شعاع جام پرتابی
H	هد انرژی
H_t	کل هد در ابتدای جام
H_p	پارامتر نرمال شده فشار
h_p	هد فشار روی مرز
h_{PM}	ماکریم فشار در جام
h_{PT}	هد فشار دینامیک ثوری
P_M	ماکریم فشار
P_{Md}	فشار دینامیک
α	زاویه ازابتادی انحنا (درجه)
α_T	کل زاویه چرخش جام پرتابی (درجه)
β	زاویه مرکزی (زاویه چرخش) جام پرتابی
h_0	عمق جریان ورودی به جام پرتابی
d	عمق جریان ورودی به جام پرتابی
$(\frac{d}{R})$	انحنای نسبی جام
Fr	عدد فرود جریان
(F_0)	عدد فرود جریان ورودی به جام
X_p	طول نرمال شده
(x_{PM})	محل وقوع ماکریم فشار دینامیک نسبت
v	لزجت مولکولی
V_t	لزجت گردابه‌ای یا لزجت آشفتگی
κ	انرژی جنبشی آشفته
ϵ	نرخ استهلاک انرژی جنبشی آشفته
F	متغیر جزء حجم سیال در سلول محاسباتی (Volume of Fraction)

برای $R/d=3$ حداقل اختلاف در محاسبه سطح آزاد ۱۰ درصد و در محاسبه فشار ۸ درصد و برای $R/d=5$ حداقل اختلاف در محاسبه سطح آزاد ۵ درصد و در محاسبه فشار ۴ درصد است.

۲- منحنی‌های طراحی موجود، نتیجه اندازه‌گیری‌های صحرایی بوده و تأثیر عدد فرود بر نتایج در نظر گرفته نشده است، منحنی‌های طراحی Corps of Engineering (1990) اختلاف ۳۰ تا ۵۰ درصد را نسبت به نتایج تحقیقات انجام شده توسط Heller et al. (2005) نشان می‌دهد. محدود بودن نتایج حاصل از نمونه، خطاهای بیشتر در اندازه‌گیری‌های صحرایی و شرایط خاص در طبیعت - مانند هوایگیری سطحی - می‌تواند دلایل این اختلاف باشد.

۳- نتایج حاصل از مدل عددی برای توزیع فشار و محل وقوع بیشینه فشار، تطابق خوبی با روابط تجربی ارائه شده توسط Heller et al. (2005) دارد.

۴- تاکنون روش‌های عددی در پیش‌بینی فشارهای دینامیک در جام پرتابی به کار گرفته نشده بود. تحقیقات حاضر نشان می‌دهد که این روشها، قابلیت بالایی در تحلیل جریانهای سطح آزاد داشته و می‌تواند در طراحی جام‌های پرتابی استفاده می‌شود.

۵- روابط تحلیلی که با فرض جریان پتانسیل و گرداب آزاد ارائه شده، خطای بالایی دارند و برای R/d کمتر از ۸ تا ۱۰ قابل استفاده نبوده و خطای محاسباتی آنها با کاهش R/d بهشدت افزایش می‌یابند. خطای برای $R/d=5$ بیش از ۳۰ درصد محاسبه شده و برای $R/d=3$ خطای - با افزایش عدد فرود - تا ۸۰ درصد افزایش یافته است. برای $R/d=10$ خطای محاسبه شده، برای عدد فرود ۳، برابر ۴ درصد و برای عدد فرود ۵، برابر ۷/۸ درصد است.

۶- منابع

- Engrg. Monograph 25, Bureau of Reclamation, U.S. Department of the Interior, Denver.
- Pirzadeh B. and Shamloo H. Numerical investigation of velocity field in dividing open-channel flow source, Proceedings of the 12th WSEAS International Conference on Applied Mathematics, 2007, Cairo, Egypt.
- Rhone T.J. and Peterka A.J. (1959). "Improved tunnel spillway flip buckets", J. Hydr. Div., ASCE, 85(12), pp. 53-76.
- Rodi W. (1980). Turbulence Models and their Application in Hydraulics-A State of the Art Review, IAHR, Delft, The Netherlands.
- Schlichting H. (1979). Boundary-Layer Theory, McGraw-Hill, New Yourk.
- Shuguang L. and Zhengxiang L. (1988). "Gravity-affected potential flows past spillway flip bucket", J. Hydraulic Engineering 114(4), pp. 409-428.
- Turan C., Carrica P. M., Lyons T., Hay D. and Weber L. (2008). Study of the free surface flow on an ogee-crested fish bypass, Journal of Hydraulic Engineering, Vol. 134, pp. 1172.
- Versteeg H.K., Malalasekara W. (1995). An Introduction to Computational Fluid Dynamics, The Finite Volume Method, Longman.
- Vischer D. L. and Hager W. H. (1995). Energy Dissipators, IAHR Hydr. Struct. Design Manual 9, Balkema, Rotterdam, The Netherlands.
- Wood, I.R. (1991). Air entrainment in Free Surface Flow, International Association for Hydraulic Research, Hydraulic Structure Design Manual 4, A.A. Balkema, Rotterdam, The Netherland.
- Youngs D. L. (1982). Time-dependent multimaterial flow with large fluid distortion. In K. Morton and M. Baines, Editors, Numerical Methods for Fluid Dynamics, pp. 273-285. Academic Press.
- Balloffet A. (1961). "Pressure on spillway flip buckets", J. Hydr. Div., ASCE, 87(5), pp. 87-98.
- Chen T.-C., and Yu Y.-S. (1965). "Pressure distribution on spillway flip buckets", J. Hydr. Div., ASCE, 91(2), pp. 51-63.
- Chow V.T. (1959). Open Channel Hydraulics, McGraw-Hill Book Co. Inc. New York.
- Corps of Engineering (1990). Hydraulic Design Criteria, US Army Waterways Experimental Station, Vicksburg, Mississippi, USA.
- Dargahi B. Experimental study and 3D numerical simulations for a free-overflow spillway, Journal of Hydraulic Engineering, 2006.
- Fluent Inc. (1993). FLUENT User's Guide, Fluent, New Hampshire.
- Heller V., Hager W.H. and Minor H. (2005). "Ski jump hydraulics", J. Hydr. Eng., ASCE, May, pp. 347-355.
- Indian Standard (1982). "Criteria for hydraulic design of bucket type dissipater".
- Juon R. and Hager W.H. (2000). "Flip bucket without and with deflectors", J. Hydr. Eng., ASCE, Nov., pp. 837-845.
- Lenau C. W. and Cassidy J. J. (1969). "Flow through spillway flip bucket", J. Hydr. Div., ASCE, 95(5), pp. 633-648.
- Park J., Desam P. and Ligrani P. Numerical predictions of flow structure above a dimpled surface in a channel, Numerical Heat Transfer Part A: Applications, January 2004, Vol. 45, No. 1(20), pp. 1-20.
- Patankar S.V. (1980). Numerical heat transfer and fluid flow, Hemisphere Publishing Corporation, Taylor & Francis Group, New York.
- Peterka A. J. (1983). Hydraulic design of stilling basins and energy dissipators, 7th Ed.,